

研究报告

红曲霉葡萄糖淀粉酶的研究

I. 提纯和结晶

中国科学院微生物研究所酶结构与功能研究组*
(北京)

红曲霉的葡萄糖淀粉酶具有多样性。经聚丙烯酰胺凝胶电泳可分离为几个距离很近的带，暂定为带 I、2、3、4 和 5。酶制剂浸出液经硫酸铵盐析，凝胶过滤脱盐和 DEAE-纤维素柱层析，初步得到两个洗脱部分。部分 I 以带 4 为主，部分 II 以带 3 为主。两部分均提纯约 2.5 倍，收率合计 27%。将部分 I 或 II 用硫酸铵沉淀出酶蛋白，再用逐步降低浓度的硫酸铵溶液在 0℃ 抽提，然后在 7℃ 放置数周，在盐饱和度为 56、54、52% 的抽提液中均出现结晶，结晶为针状，并聚成麦捆状、放射状或球状晶簇。长径可达 50—100 微米。

葡萄糖淀粉酶 (Glucoamylase EC 3·2·1·3) 能将淀粉几乎百分之百地水解为葡萄糖。近年来已广泛用于葡萄糖的工业生产，代替了酸水解法。应用于生产的菌种有根霉、黑曲霉、拟内孢霉等。关于这些菌产生的酶的提纯及性质已有不少报道^[1-8]。已经由其中得到结晶酶的有德氏根霉 (*Rhizopus delemar*)^[5,6]、黑曲霉 (*Aspergillus niger*)^[6]、内孢霉 (*Endomyces* sp.)^[7] 及鲁氏毛霉 (*Mucor rouxianus*)^[8] 等。我们曾进行过红曲霉葡萄糖淀粉酶的研究并已应用于生产^[9]。为了解决生产中存在的问题，并对酶本身的物理化学性质作进一步了解，我们进行了一些基础工作。本文报道酶提纯及结晶的研究结果。

材料和方法

一、酶制剂 生产菌种为红曲霉 (*Monascus* sp.) AS 3.978 的变异株 AS 3.2199 和 AS 3.3491。由无锡酶制剂厂生产，简称糖化酶。活力为每克

2 万单位或 8 万单位。

二、主要化学药品及仪器 DEAE-纤维素 DE 11 为 Whatman 厂产品。QAE-Sephadex A50、Sephadex G 25 为 Pharmacia 产品，紫外分光光度计为 Unicam SP 700c 型。72 型光电分光光度计为上海分析仪器厂产品，PHS-2 型 pH 计及 DDS-11A 型电导率仪为上海第二分析仪器厂产品。流动紫外光吸收计 Uricord II 为 LKB 产品。偏光显微镜为 Zeiss NF 型。

三、酶活力测定方法 反应系统为 2% 可溶性淀粉溶液 5 毫升 (0.1 M pH 4.5 醋酸缓冲液)，视酶液浓度不同加入不同毫升数的酶液，酶蛋白含量一般控制在 50—70 微克左右。以水补足到总体积为 10 毫升。在 50℃ 保温 10 分钟。立即在沸水浴中煮沸 10 分钟停止反应。取反应液 0.5 毫升。用 3,5-二硝基水杨酸比色测定还原糖^[10]。在所用条件下，每小时生成 1 毫克葡萄糖定为 1 酶活力单位。

四、一般分析法 蛋白质测定用 Lowry

本文于 1976 年 5 月 8 日收到。

* 中国科技大学生物物理专业参加部分工作。

法^[11], 或在 280 毫微米测光吸收, 按下式计算^[12]:

$$\text{蛋白质(毫克/毫升)} = 1.45 E_{280} - 0.74 E_{260}$$

铵盐浓度用奈氏(Nessler)试剂比色测定。

五、聚丙烯酰胺凝胶盘状电泳 (简称凝胶电泳)按 Davis^[13]方法进行。凝胶浓度为 7%。用考马斯亮蓝 R-250 染色。

实验结果

一、硫酸铵分划

用饱和硫酸铵将蛋白质沉淀下来, 再用逐步降低饱和度的硫酸铵分次抽提, 分别测定抽提物的酶活及蛋白质, 结果见图 1。蛋白质及酶活主要分布在硫酸铵饱和度为 35—60% 之间。在 47.5% 饱和度时比活最高。因为硫酸铵浓度是逐步由高到低, 实际上的浓度要比此数值高一些。

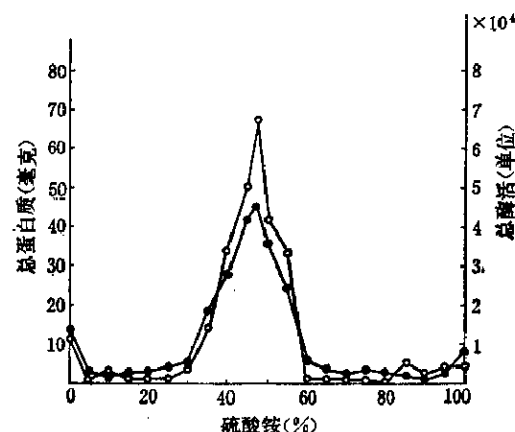


图 1 抽提液硫酸铵的饱和度和酶的分布

二、葡萄糖淀粉酶的多形性

用 3.2199 菌株生产的每克 2 万活力单位的酶制剂, 经过硫酸铵沉淀并脱盐之后, 进行凝胶电泳, 用氨基黑 10B 染色,

表 1 凝胶电泳各带的酶活力

酶带	R _m	蛋白质含量* 毫克/毫升	酶活 单位/毫升	比活* 单位/毫克	凝胶电泳检查				
					1	2	3	4	5
1	0.79	0.28	78	278	++	+			
2	0.73	0.33	156	473	++				
3	0.68	0.41	240	585		++			
4	0.63	0.41	222	542			++		
5	0.58	0.40	102	256		+	+	+	++
原酶液		25.40	20,400	805	+	+	+++	++	++

* 凝胶对蛋白测定有干扰, 测定值偏高, 故比活较低。

其凝胶电泳图谱表现为单一的蛋白质带, 但带相当宽。改用考马斯亮蓝(Coomassie brilliant blue) R-250 染色, 则可看出是距离很近的 5 条带。各带的比移值 [R_m(蛋白质带泳动距离/溴酚兰(前沿)泳动距离)] 经过多次测量, 比较恒定。因此同时作 8—15 管凝胶电泳, 根据 R_m 值将各带切下来, 分别汇集在一起。切碎后用蒸馏水抽提, 测定蛋白质及酶活。为了鉴定切割是否准确, 再进行一次凝胶电泳检查, 结果见表 1。

表中酶带数字是以距正极最近的为 1。由表 1 结果可以看出, 5 条带基本上都有酶活力, 但带 1 和带 5 比活较低, 而且混有少量其它带, 其活力尚不能完全肯定。

三、酶的提纯

1. 浸出: 称取 100 克酶制剂, 加到 500 毫升预热至 37℃ 的蒸馏水中, 继续在 37℃ 保温 1 小时。不时搅拌, 用折叠滤纸过滤, 除去残渣, 即为酶浸出液。

2. 硫酸铵沉淀：酶制剂为硫酸铵沉淀制剂，浸出液中含有硫酸铵，用奈氏试剂测定浓度，计算出硫酸铵饱和度（一般在10—15%）。再加计算量的硫酸铵至70%饱和度*，放冰箱中过夜，于0℃左右，13,000转/分离心分离沉淀，溶于蒸馏水。

3. 凝胶过滤脱盐：上述溶液加到Sephadex G25柱（3×25厘米），加样18—20毫升。用蒸馏水洗脱，用30%三氯乙酸检查，出现蛋白时开始收集，至出现铵离子（奈氏试剂检查）止。一般收集35—40毫升。

4. DEAE-纤维素柱层析：DE 11纤维素预先用0.5N NaOH—0.5N HCl—0.5N NaOH交替浸泡半小时，酸碱更换之间及最终均用蒸馏水洗至中性。再浸于起始缓冲液（pH 5.80，0.08M或0.1M醋酸），用0.2M醋酸调pH至5.80，自然沉

降装柱（1.8×45.5厘米），用起始缓冲液平衡，至流出液与起始缓冲液的pH及电导率相同。将上步脱盐酶液调整至与起始缓冲液相同的pH及电导率后上柱，再用起始缓冲液平衡。然后用直线浓度梯度洗脱。下限为起始缓冲液750毫升。上限为pH 5.80，0.25M醋酸缓冲液750毫升。流速每小时25—30毫升。自洗脱开始时收集，每管10毫升。用紫外分光光度计测定每管280毫微米的吸光度（或透光率）。每隔10管测定酶活、pH及电导率。选择分布在洗脱峰不同位置的管进行凝胶电泳，并根据此结果合并洗脱液。柱层析结果见图2，pH一直稳定在5.80，故图中未画出。图右上角是各管凝胶电泳示意图。将25—35管合并为洗脱液部分I，36—48管合

* 根据硫酸铵逐步由低到高浓度分级沉淀结果决定。

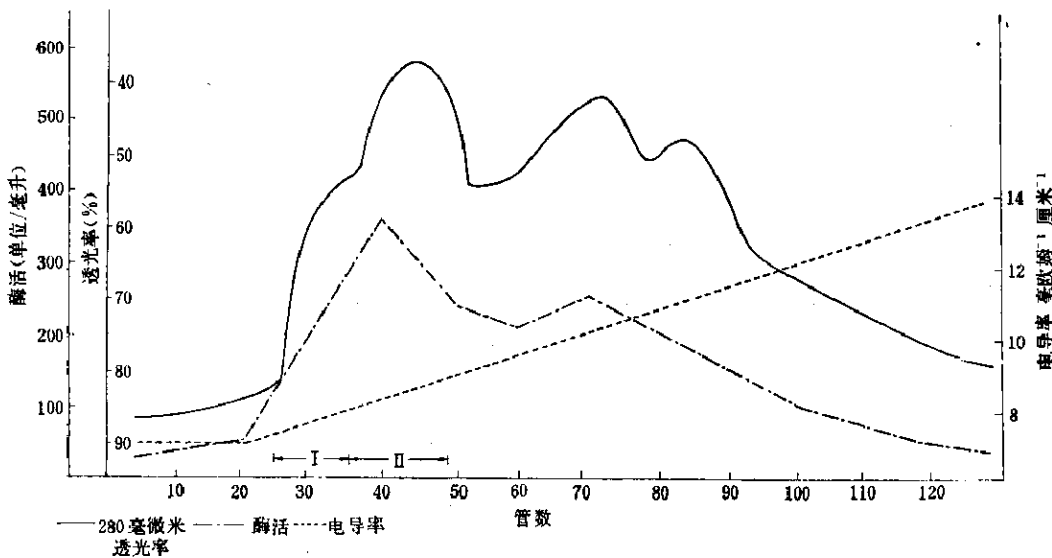
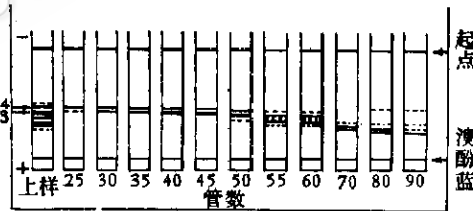


图2 DEAE-纤维素柱层析洗脱图谱

并,为洗脱液部分 II。部分 I 以带 4 为主,部分 II 以带 3 为主。50 管以后的各管凝胶电泳带比较复杂,主要是带 1、2 及 5 等(图版 I-1 为提纯各步的凝胶电泳照片)。从酶活曲线看,这些带均有酶活。与前面凝胶切段的试验相符。将部分 I 及 II 分别在同样条件下进行再层析,未能得到凝胶电泳均一的样品。

各步提纯结果列于表 2。提纯 2.5 倍左右。两部分合计酶活收率 27% 左右。

5. 浓缩: 因为由柱上下来的洗脱液部分蛋白质浓度太低,所以通常将几批柱

层析样品合并。用 QAE-Sephadex A50 柱(2.8×18 厘米)进行浓缩。QAE-Sephadex A50 预先用 $0.1N\ NaOH$ — $0.1N\ HCl$ — $0.1N\ NaOH$ 预处理,水洗至中性。用起始 pH 5.80, $0.05M$ 醋酸缓冲液平衡。将柱层析合并样品用蒸馏水稀释一倍。连续通过柱,上柱结束后,用含有 $0.5N\ NaCl$ 的起始缓冲液洗脱。用 Uvicord II 监测,收集 280 毫微米吸收峰部分。

浓缩的结果见表 3,比上柱液浓缩 20 倍(比原洗脱液浓缩 10 倍),收率 90% 左右。

表 2 葡萄糖淀粉酶的提纯*

提纯步骤	体积 (毫升)	酶活 (单位/毫升)	总酶活 (单位)	蛋白质 (毫克/毫升)	总蛋白质 (毫克)	比活 (单位/毫克)	提纯 倍数	得率 (%)	
								酶活	蛋白
酶浸出液	28.5 (酶制剂) 7.8 克	6,820	195,000	18.0	512.0	379	1	100	100
硫酸铵沉淀	5.9	41,600	244,000	70.0	413.0	595	1.57	>100	80
G-25 脱盐	14	16,700	233,000	23.5	329.0	710	1.87	>100	63.9
洗脱液 部分 I	110	164	18,000	0.168	18.4	978	2.59	9.2	3.5
洗脱液 部分 II	130	276	35,800	0.300	39.0	921	2.43	18.4	7.6

* 此次所用酶制剂为 3.2199 菌株生产的每克 8 万单位的制品。前三步的体积是根据柱层析上柱液的量折合成的。

表 3 洗脱液的浓缩

样 品	体 积 (毫升)	酶 活 (单位/毫升)	总酶活 (单位)	蛋白 质 (毫克/毫升)	总蛋白 质 (毫克)	比 活 (单位/毫克)	得 率 %	
							酶活	蛋白
上柱液	1200*	97.4	11,700	0.105	126	926	100	100
浓缩液	50	2,180	10,910	2.06	103	1060	93	82

* 原柱层析洗脱液 600 毫升稀释成的。

四、酶的结晶

按 Jakoby 的方法^[14],先将酶蛋白用硫酸铵沉淀下来,再在 0℃ 用逐步降低浓度的硫酸铵溶液抽提,然后在室温结晶。这

是利用酶蛋白在低温溶解度高,逐步升高温度时溶解度降低的性质,使之析出结晶。具体操作如下:取上述提纯并浓缩的部分 I 或 II 洗脱液,对蒸馏水彻底透析除盐,在冰浴中慢慢加入预先磨细的分析纯硫酸

铵至饱和，放冰箱中过夜，在0℃离心，弃去上清液。根据前面硫酸铵分级抽提试验的结果，选用饱和度为60、56、54、52及50%的硫酸铵溶液依次抽提，放冰浴中20—30分钟。在0℃（有时低至-5—-7℃）离心，12,000转/分，20分钟。立即将上清液倒入玻璃磨口塞试管中，放入4℃冰箱中，然后每隔10—12小时交替放置在7℃和4℃冰箱中，过5天左右即出现大量沉淀。继续在7℃放置长时间，每隔1—2周用偏光显微镜检查，数周后即出现针状结晶及晶簇。随时间延长，晶簇增多并长大（50—100微米）。由麦捆状图版I-2a, 2b变成放射状（图版I-2a）以至球状（图版I-2c）。在正交偏光显微镜下，放射

状晶簇的第一、三象限亮度较强（白色）。第二、四象限则为黑色（见图版I-2a, 2b）。球状晶簇表现出斜的黑十字形消光（图版I-2c）摇动试管可以见到明显的丝光。三批结晶试验结果汇总于表4。可以看出在56, 54及52%饱和度的硫酸铵抽提液中均可形成结晶。

将结晶悬液在7℃离心，母液倒入另一试管，将结晶溶于与母液等体积的蒸馏水中。分别测定蛋白及酶活，并经凝胶电泳鉴定，结果见表5。第一批56%盐饱和度的抽提液（1—56）中，结晶物蛋白质含量相当于母液的7倍。比活高一倍。第二批52%饱和度的（2—52）结晶物蛋白质含量相当于母液的4倍多。比活略高。因

表4 葡萄糖淀粉酶的结晶情况

实验批号	起始样品	硫酸铵抽提液		出现混浊时间 (小时)	蛋白质沉淀量 (目测)*	看到结晶时间 (天)
		饱和度%	毫升			
1	部分II 23毫升 蛋白质65毫克	60	2	—	—	—
		56	2	72	+++	60
		54	2	1.5	+++	45
		52	3	20	++	胶冻状
		50	2	—	—	—
2	部分I 30毫升 蛋白质100毫克	56**	2	>72	+	—
		54	2	1	+++	50
		52	2	1	+++	40
3	部分II 30毫升 蛋白质130毫克	60	3	—	—	—
		56	3	>72	+	—
		54	3	24	++	42
		52	3	24	+++	25

* ---不出现沉淀，+++占试管液体一半以上。

** 因操作不慎，实际上是53.7%饱和度。

表5 结晶及母液的蛋白质及酶活

结晶批号	蛋白质* (毫克/毫升)	比活* (单位/毫克)
1—56 结晶	3.72	782
	母液	0.53
2—52 结晶	19.9	814
	母液	4.6

* 用280毫微米光吸收法测定，不损失样品，但测定值偏高，故比活偏低。

为蛋白质测定用紫外吸收法，比用Lowry法测出的数值偏高，故比活偏低。凝胶电泳均现两带。看来用结晶方法不能分开这两条带。

讨 论

一、酶的多形性及提纯上的困难

关于葡萄糖淀粉酶的多形性已有报

道，例如黑曲霉^[1-3]，海枣曲霉(*Asp. Phoenicis*)^[4]和鲁氏毛霉^[5]等的该酶均有两个组分。两个组分的分子量和等电点不同，用DEAE-纤维素柱层析可以分开。我们发现红曲霉的葡萄糖淀粉酶有3—5个有活力的组分，性质极为接近，仅能用凝胶电泳分开，给提纯工作带来很大困难。我们在层析条件方面作了多次试验，得到现在的结果。虽经再层析也未能得到凝胶电泳均一的样品。提纯倍数不高，收率也不高。这主要是酶的多形性造成的。因为弃去的大部分蛋白质也都是具有活力的酶。如何将带3和4分离纯化，正在研究中。

二、酶的结晶

日本人赤堀等^[4]曾由高峰淀粉酶得到了 α -淀粉酶的结晶。其方法主要是利用利凡诺(Rivinol)与酶形成复合物的特性进行纯化，再在丙酮中结晶。其后福本等^[4,5]利用类似的方法，得到了德氏根霉和黑曲霉的葡萄糖淀粉酶的结晶。他们也曾将同样方法用于红曲霉制剂的提纯，但未能得到结晶。我们用 Jakoby 的方法，首次得到了红曲霉葡萄糖淀粉酶的结晶。

Jokoby 的方法曾成功地用于 100 多种酶的结晶。但所得结晶大多是 1—4 微米的微晶。我们将放置温度由普通室温降低至 7℃ 左右，并延长放置时间，得到了较大的结晶。关于结晶的一些性质正在进一步研究。

参 考 资 料

- [1] Pazur, J. H. and Ando, T.: *J. Biol. Chem.*, 234 (8): 1966, 1959.
- [2] Lineback, D. R. et al.: *Arch. Biochem. Biophys.*, 134: 539, 1969.
- [3] Pazur, J. H. et al.: *Carbohydr. Res.*, 20: 83—96, 1971.
- [4] Lineback, D. R. and Baumann, W. E.: *Carbohydr. Res.*, 14: 341—353, 1970.
- [5] 福本寿一郎ら：*酵素化学シンポジウム*, 9: 94, 1954。
- [6] Tsujisaka, Y. et al.: *Nature*, 181: 770, 1958.
- [7] Fukui, T. and Nikuni, Z.: *Agr. Biol. Chem.*, 33: 884—891, 1969.
- [8] Tsuboi, A. et al.: *ibid.*, 33: 543—550, 1974.
- [9] 何秉旺等：*微生物学报*, 13: 142—150, 1973.
- [10] Reese, E. T. and Mandels, M.: *Methods in Carbohydrate Chemistry* p. 139, ed. by Whistler, R. L., Academic Press, 1963.
- [11] Lowry, O. H. et al.: *J. Biol. Chem.*, 193: 265, 1951.
- [12] Kalekar, H. M.: *ibid.*, 167: 461, 1947.
- [13] Davis, B. J.: *Ann. N. Y. Acad. Sci.*, 121: 404, 1964.
- [14] Jakoby, W. B.: *Methods in Enzymology*, Vol. 22, p. 248, 1971.
- [15] Akabori, S. et al.: *J. Biochem.*, 41: 577, 1954.
- [16] 福本寿一郎ら：“科学と工业”，35: 412, 1961。

GLUCOAMYLASE OF MONASCUS SP.

I. PURIFICATION AND CRYSTALLIZATION

ENZYME STRUCTURE AND FUNCTION RESEARCH GROUP,

INSTITUTE OF MICROBIOLOGY, ACADEMIA SINICA

(Beijing)

Glucoamylase of *Monascus* sp. has been shown to exist in multiple forms, separable by polyacrylamide gel disc-electrophoresis as nearly located bands. After ammonium sulfate fractionation, gel filtration and DEAE-cellulose column chromatography, two fractions of the eluate were obtained. Fraction I mainly consists of band 4, while fraction II, mainly of band 3. Both fractions have been purified 2.5-fold with a total recovery

of 27%.

Crystallization of glucoamylase was achieved by extracting the enzyme protein with ammonium sulfate solutions of decreasing concentration at 0° and standing at 7° for several weeks. Crystals separated out in extracts of 56, 54, and 52% of salt saturation as needles or clusters of needles like wheat-sheaf, or in radial or globular forms. The large diameter of the clusters is 50—100 μm .